

## دگرسانی، زمین‌شیمی، کانه‌زایی و مطالعه میانبارهای سیال در منطقه مس- طلا شجاع‌آباد، جنوب‌شرق نطنز

فاطمه سهیل<sup>\*</sup><sup>۱</sup>، هاشم باقری<sup>۱</sup>، رضوان مهوری<sup>۱</sup>

۱- گروه زمین‌شناسی، دانشکده علوم، دانشگاه اصفهان، اصفهان، ایران

پذیرش مقاله: ۱۳۹۷/۱۰/۱۷

تأیید نهایی مقاله: ۱۳۹۸/۳/۲۸

### چکیده

اندیس مس- طلا شرق شجاع‌آباد در بخش میانی کمربند ماقمایی ارومیه-دختر و در جنوب‌شرق نطنز در استان اصفهان واقع شده است. واحدهای سنگی منطقه شامل داسیت، ریوداسیت، واحدهای آذرآواری (توف) و توده‌های نفوذی (گرانوودیوریت و دیوریت). دگرسانی‌های عمده منطقه شامل دگرسانی آرزیلیک در مرکز منطقه و دگرسانی فراگیر پروپیلیتیک در حاشیه می‌باشد. کانه‌سازی در منطقه به دو صورت اولیه (هیپوزن) و ثانویه (سوپرژن) بوده و بافت‌های افسان، شکافه پرکن، رگه-رگچه‌ای، مارتیتی شدن، جانشینی و کلوفرم در اشکال مختلف کانه‌سازی در نمونه‌ها قابل روئیت است. کانه‌های زون درون‌زاد (هیپوزن) شامل پیریت، کالکوپیریت و مگنتیت و کانه‌های زون برون‌زاد (سوپرژن) شامل کالکوسیت، کوولیت، هماتیت، گوتیت، اسپیکولاریت و مالاکیت می‌باشند. براساس نمودارهای پتروزنز، ماقمای مادر سنگ‌های منطقه مورد مطالعه کالک‌آلکالن و محیط تکتونیکی آن از نوع حاشیه فعال قاره‌ای می‌باشد. بررسی میانبارهای سیال بر روی رگه-های سیلیسی، شوری سیال را ۱۰/۵ تا ۱/۶ درصد وزنی نمک طعام و دمای همگن شدن را ۱۸۷ تا ۲۶۸ درجه سانتی‌گراد نشان داده است. مقایسه ویژگی‌های اصلی اندیس مس- طلا شرق شجاع‌آباد با کانسارهای اپی-ترمال گویای آن است که اندیس مس- طلا شجاع‌آباد از دید ویژگی‌های زمین‌شناسی، دگرسانی، کانه‌زایی و میانبارهای سیال بیشترین همانندی را با کانسارهای اپی‌ترمال نوع سولفیداسیون پایین دارد.

واژه‌های کلیدی: دگرسانی، اپی‌ترمال، شجاع‌آباد، نطنز.

بی‌هنگاری‌های III و II) در بخش جنوب خاوری کمربند ماگمایی ارومیه-دختر (مهرابی و همکاران، ۱۳۸۳) و (Daliran et al, 2005) اشاره کرد. مطالعه دقیق این نوع کانه‌زایی‌ها می‌تواند عوامل کلیدی توزیع زمانی و مکانی برای اکتشاف کانه‌زایی‌های اپی‌ترمال فلزات قیمتی در کمربند ماگمایی ارومیه-دختر را ارائه دهد. از مطالعاتی که اخیراً در منطقه شجاع‌آباد صورت گرفته می‌توان به بررسی‌های (زمانی، ۱۳۹۲) اشاره نمود. وی در این پژوهش به بررسی ژئوشیمیایی و ژنز اندیس-مس-طلای غرب شجاع‌آباد نظر پرداخته و با توجه به مطالعات صحرایی، دگرسانی، کانه‌نگاری، ریزدماسنجی میانبارهای سیال و ژئوشیمی، کانی-سازی مس-طلای منطقه غرب شجاع‌آباد را از نظر رده‌بندی در زمرة کانسارهای پورفیری و در ارتباط با یکی از توده‌های نفوذی حدواست-اسیدی الیگومیوسن-میوسن به شمار آورده است. با توجه به موقعیت قرارگیری اندیس مس-طلای مطالعه در بخش میانی کمربند ارومیه-دختر و در مجاورت گسل نظرن، مطالعات دگرسانی، زمین شیمی، کانی‌سازی و میانبارهای سیال در منطقه صورت گرفت و در پایان منشاء‌اندیس مس-طلای تعیین شد.

#### محدوده مورد مطالعه

منطقه مورد مطالعه دارای مختصات جغرافیایی ۲۶° تا ۳۰° عرض شمالی ۳۳° و ۵۵° تا ۵۲° طول شرقی است (شکل ۱). از نظر چینه‌شناسی، قدیمی‌ترین واحدهای سنگی این منطقه مربوط به دوران مژوزوئیک (شیل و ماسه‌سنگ و دولومیت‌های تریاس و آهک‌های کرتاسه بالایی) می‌باشد. واحدهای سوزوئیک در منطقه عمدتاً سنگ‌های آندزیت و

#### مقدمه

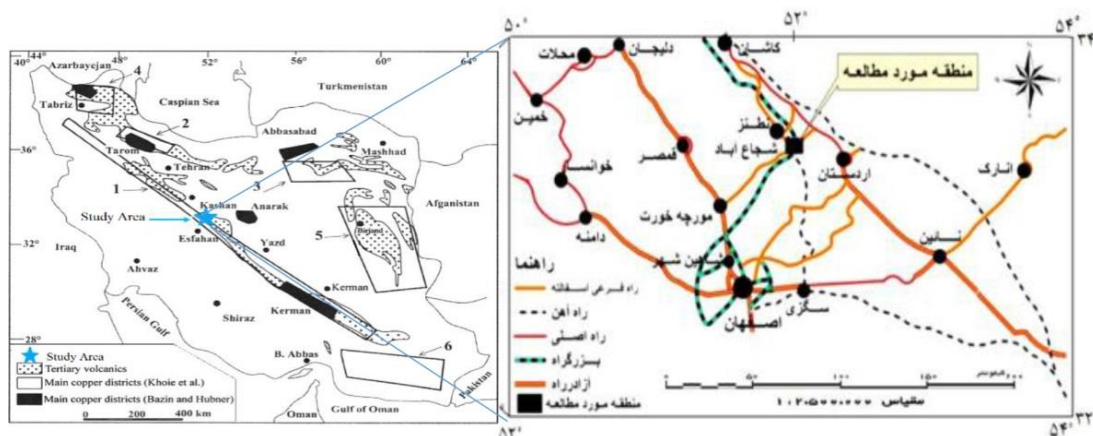
کانسارهای اپی‌ترمال توسط پژوهشگران متعددی مطالعه و خصوصیات آنها از جنبه‌های مختلف مورد توجه قرار گرفته است (Sillitoe, 1989; Hedenquist et al, 2000; Sillitoe and Hedenquist, 2003; Cooke and Deyell, 2003; Hedenquist et al, 2004; Gemmell, 2004). یکی از پهنه‌های ماگمایی در ایران که از نظر فلز‌زایی همواره مورد توجه پژوهشگران بوده و هست کمربند ماگمایی ارومیه-دختر است (Bazin and Hübner, 1969; Zarasvandi et al, 2005; Aminoroayaee et al, 2017) این کمربند به عنوان بخشی از کمربند تیس، یکی از مهم‌ترین ایالت‌های فلز‌زایی در ایران به شمار می‌آید. در این پهنه ماگمایی کانسارهای اپی‌ترمال و پورفیری بسیاری توسط پژوهشگران متعددی مورد مطالعه قرار گرفته است (Ghaderi and Richards ) (Asadi, 2008) (Kouhestani, 2010 (۱۳۹۱) et al, 2006 (مهرابی و همکاران، ۱۳۹۱) (حیدری و همکاران، ۱۳۹۳). در سال‌های اخیر، فعالیت‌های اکتشافی انجام شده توسط شرکت‌های بزرگ خارجی مانند ریوتینتو، انگلو امریکن، بی‌اچ پی و پرشین گلد منجر به شناسایی کانسارها و اندیس‌های مهم مس-طلای پورفیری و طلا با میزبان آتش‌شانی مشابه با کمربند آند در این کمربند ماگمایی شده است (کوهستانی و همکاران، ۱۳۹۲). از مهم‌ترین آنها می‌توان به کانسار طلای ساری‌گونی (داشکسن) (Richards et al, 2006)، کانسار مس-طلای پورفیری دالی (Asadi, 2008) و کانسار نقره-طلای اپی‌ترمال چاه زرد (۱۰۰ کیلومتری جنوب باختری یزد) در بخش مرکزی کمربند ماگمایی ارومیه-دختر (کوهستانی و همکاران، ۱۳۹۲) و کانسار طلای اپی‌ترمال بزمان (شامل اندیس‌های چاه نعلی و

برای مطالعه کانه‌نگاری مورد بررسی قرار گرفت. به منظور بارزسازی انواع دگرسانی‌های گرمابی، داده‌های استر منطقه تهیه و با استفاده از نرمافزار ENVI 4.8 نقشه نهایی زون‌های دگرسانی در محیط ArcGIS ترسیم گردید. در مرحله بعد بالغ بر ۱۰ عدد نمونه سنگی (اعم از نمونه‌های نسبتاً سالم و دگرسان) به منظور مطالعات زمین‌شیمی انتخاب شدند. نمونه‌های سنگی با استفاده از روش فلئورسانس پرتو ایکس (XRF) جهت تعیین میزان عناصر اصلی در دانشگاه اصفهان مورد تجزیه قرار گرفت. همچنین برای به دست آوردن عناصر کمیاب و نادر خاکی، نمونه‌ها به روش ICP-MS در آزمایشگاه ACME کانادا مورد بررسی قرار گرفتند که نتایج آنالیزها در جدول ۱ ارائه شده است. همچنین به منظور ارزیابی دمای تشکیل کانی‌سازی و ماهیت سیال‌های کانی‌ساز در منطقه، تعداد ۶ عدد نمونه جهت مطالعه سیالات درگیر انتخاب شدند. اندازه‌گیری‌های دما‌سنگی میانبارهای سیال در گروه زمین‌شناسی دانشگاه اصفهان صورت گرفته است.

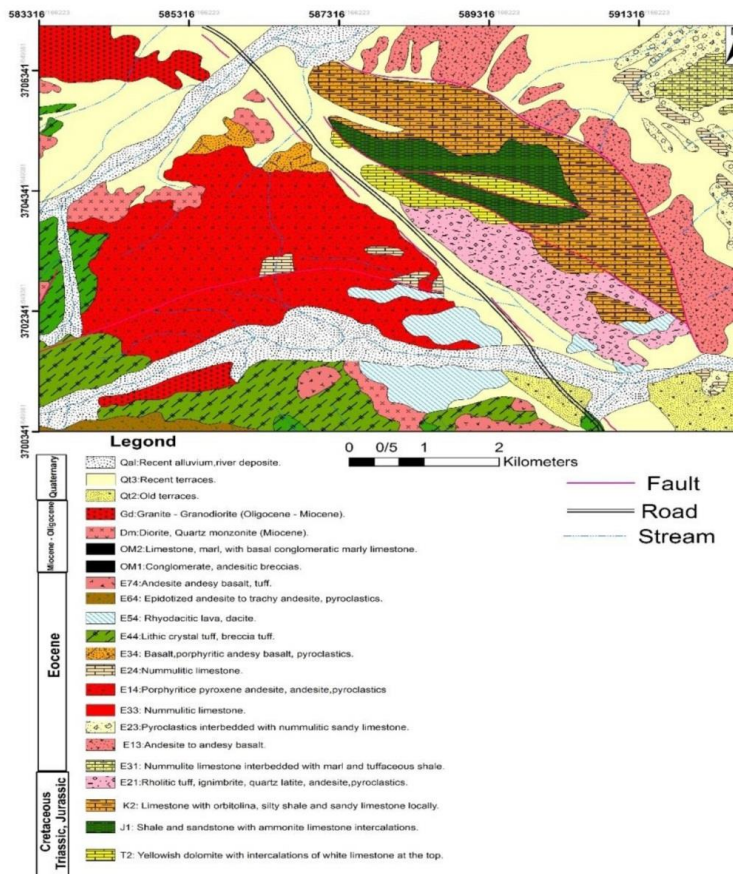
تراکی‌آندزیت، داسیت، ریولیت و توف را شامل می‌شود (شکل ۲). در واقع بیشترین رخنمون‌های سنگی سنوزوئیک مربوط به فعالیت آتش‌فشانی ائوسن با ترکیب آندزیت، ریوداسیت و ریولیت است که در میان آنها توف و ایگنومبریت هم دیده می‌شود. از دیگر واحدهای سنوزوئیک مشاهده شده در منطقه می‌توان به واحدهای نفوذی از جنس دیوریت و گرانودیوریت اشاره نمود که دارای سن نسبی الیگومیوسن و میوسن هستند. جوان‌ترین واحدهای منطقه مربوط به کواترنری هستند و این واحدها از نوع تراس و رسوبات آبرفتی می‌باشند. اندیس مورد مطالعه از لحاظ تکتونیکی بخشی از سامانه گسلی قم‌زفره محسوب می‌شود.

## مواد و روش‌ها

در بازدید صحراوی از منطقه، ۲۰ عدد نمونه سنگی به شیوه تصادفی از رخنمون‌های کانه‌زایی و مناطق دگرسانی گرمابی برداشت شد. تعداد ۱۵ عدد مقطع نازک جهت مطالعه سنگ‌شناسی و دگرسانی و ۱۰ عدد مقطع نازک صیقلی و صیقلی



شکل ۱: نقشه موقعیت و راههای ارتباطی منطقه



شکل ۲: نقشه زمین‌شناسی منطقه در منطقه‌ای به وسعت ۱۶ کیلومتر مربع (زاهدی و رحمتی، ۱۳۸۱).

دارند، اما اکثر ریوداسیت‌ها دارای بافت شیشه‌ای هستند (شکل ۳ الف). سنگ‌های آذرآواری در منطقه از فراوانی قابل توجهی برخوردارند. در نمونه دستی دارای رنگ خاکستری و یا قرمز رنگ (به دلیل اکسیداسیون کانی‌های آهن‌دار) می‌باشند. در مقطع میکروسکوپی دارای زمینه‌ای از توف (خاکستر جوش‌خورده) به همراه قطعات سنگی (Lithic) و بلور (Crystal) می‌باشند. توف‌های سنگی در منطقه عمدتاً دارای سیمان سیلیسی و آهکی بوده و قطعات لیتیک همراه با بلورهای فلدسپار و کانی‌های کدر از اجزای تشکیل دهنده آنها به شمار می‌آیند. بافت این سنگ‌ها هیالولکلاستیک می‌باشد (شکل ۳ ب). در بعضی از توف‌های منطقه خرده‌های شیشه‌حالت کشیده

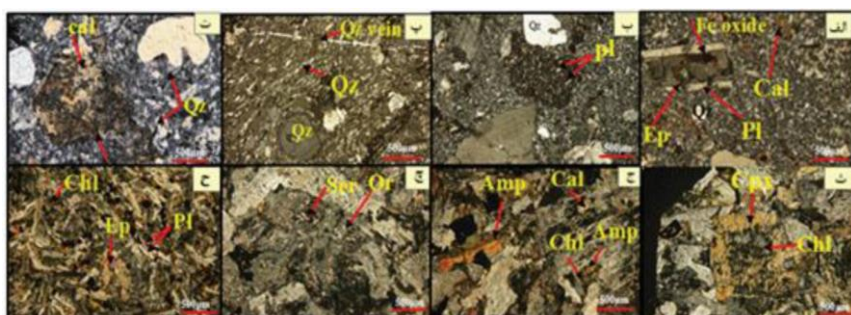
## بحث و نتایج

### پتروگرافی واحدهای سنگی منطقه

با توجه به پیمایش‌های صحرایی و مطالعات میکروسکوپی، سنگ‌های غالب منطقه، سنگ‌های آتشفشاری و آذرآواری ائوسن شامل توف (لیتیک توف، لیتیک کریستال توف، توف سیلیسی، توف داسیتی و ریوداسیت) می‌باشد. سنگ‌های آتشفشاری غالباً بافت پورفیری از خود نشان می‌دهند و این سنگ‌ها براساس بررسی‌های میکروسکوپی بیشتر ترکیب ریوداسیتی دارند که فنوکریست‌های اصلی آن شامل فنوکریست‌های پلاژیوکلاز با ماکل پلی‌سننتیک و گاهی دارای بافت غربالی‌اند، کوارتز‌های با خوردگی خلیجی و بیوتیت که در زمینه‌ای کوارتز و فلدسپاری قرار

تبديل شده است (شکل ۳ ج). ارتوزهای موجود دگرسانی سرسیتی را تجربه کرده‌اند (شکل ۳ ج). دیاباز سنگ آذرینی است که به صورت توده‌های نفوذی نیمه‌عمیق و همچنین به صورت دایک و سیل در منطقه مشاهده شد. پلازیوکلازها در دو اندازه به صورت فنوکریست و به صورت میکروولیت با بافت اینترگرانولار در سنگ دیاباز منطقه مشاهده شد (شکل ۳ ح). در مشاهدات میکروسکوپی تا حدی پلازیوکلازها سوسوریتی شده‌اند. بنابراین واحدهای آتشفسانی و آذرآواری منطقه نیز تحت تأثیر دگرسانی قرار داشته‌اند و در اثر دگرسانی کانی‌های ثانویه از قبیل اپیدوت، کلریت و کربنات در نمونه‌ها به وفور مشاهده می‌شود.

دارند که به آن توف جوش‌خورده یا ایگنمبیریت هم گفته می‌شود (شکل ۳ پ). در توفهای سیلیسی منطقه شاهد دو نسل سیلیس هستیم. نسل اول سیلیس‌های اولیه و گرد شده دارای خوردگی خلیجی و نسل دوم سیلیس‌های دانه‌ریز و بی‌شکل ناشی از محلول‌های گرمابی که به صورت انتشاری در زمینه سنگ پراکنده شده‌اند (شکل ۳ ت) با توجه به مطالعات میکروسکوپی، دیوریت‌ها در منطقه از فراوانی قابل توجهی برخوردار هستند. کلینوپیروکسن‌های موجود در سنگ دیوریت تحت تأثیر دگرسانی کلسیتی و کلریتی قرار گرفته‌اند (شکل ۳ ث). همچنین آمفیبول این سنگ‌ها در اثر دگرسانی به کلریت



شکل ۳: تصاویر میکروسکوپی از واحدهای سنگی منطقه مورد مطالعه: (الف) سنگ ریوداسیت در یک زمینه کوارتز فلسفیاتی ریزدانه با بافت شیشه‌ای (XPL)، (ب) توف سنگی دارای قطعه سنگی آندزیتی که در آن بلورهای پلازیوکلاز رشد کرده‌اند (XPL)، (پ) ایگنمبیریت سیلیسی شده دارای بافت جریانی همراه با فنوکریست کوارتز با خوردگی خلیجی (XPL)، (ت) توف سیلیسی دارای سیلیس‌های اولیه با خوردگی خلیجی و سیلیس‌هایی که زمینه را پر کرده‌اند، همراه با پلازیوکلاز کربناتی شده (XPL)، (ث) سنگ دیوریت و کلینوپیروکسن‌هایی که کلریتی شده‌اند (XPL)، (ج) آمفیبول‌های کلریتی شده همراه با کربنات‌ها (XPL)، (چ) ارتوزهای سرسیتی شده در سنگ دیوریت (XPL)، (ح) سوسوریتی شدن پلازیوکلازها در دیاباز (XPL).

(Qz: Quartz, Pl: Plagioclase, Chl: Chlorite, Ep: Epidote, Amp: Amphibole, Ser: Sericite, Cal: Calcite) (Kertz, 1983).

دگرسانی آرژیلیک در مرکز منطقه و گسترش زیاد دگرسانی پروپیلیتیکی در اطراف مشخص است. البته شایان ذکر است که دگرسانی‌های سرسیتی و سیلیسی نیز در منطقه مشاهده شدند، اما نمی‌توان آنها را به عنوان دگرسانی‌های شاخص در

دگرسانی گرمابی در شرق شجاع‌آباد دگرسانی گرمابی در انديس مس- طلا شرق شجاع‌آباد گسترش به نسبت زیادی دارد. با توجه به پیمایش‌های صحرایی، پردازش تصاویر ماهواره‌ای ASTER و مطالعات میکروسکوپی، حضور

زون‌های دگرسانی آرژیلیک و پروپیلیتیک انجام شد که روش Ls-Fit و MNF تصاویر باوضوح بیشتری نسبت به بقیه روش‌های سنجش از دور را به نمایش گذاشت.

ترکیب رنگی کاذب (False color composite): تصویر با ترکیب رنگی ۸-۶-۴ (RGB) مناسب‌ترین ترکیب رنگی برای شناسایی مناطق دگرسانی است (Tommaso and Rubinstein, 2007) Boloki (and Poormirzaee et al., 2015). با توجه به این که کانی‌های مونت-موریونیت، کائولینیت و ایلیت (شاخص زون‌های دگرسانی فیلیک و آرژیلیک) در باند ۴ قلمرو SWIR دارای حداکثر انعکاس و در باند ۶ به دلیل وجود پیوند AL-OH دارای انعکاس پایین و کانی‌های کلریت و اپیدوت (شاخص زون پروپیلیتیک) در باندهای ۵ و ۶ انعکاس بالا و در باند ۸ به دلیل پیوند Mg-OH انعکاس پایین را نشان می‌دهند، در محدوده مورد مطالعه زون‌های دگرسانی آرژیلیک و فیلیک به رنگ قرمز تا صورتی و دگرسانی پروپیلیتیک به رنگ سبز نشان داده شده است (شکل ۴ الف).

روش کمترین مربعات رگرسیون شده (Ls-Fit): یکی از روش‌های کمترین مربعات رگرسیون شده روش Ls-Fit است. در این روش باندها به عنوان مقادیر ورودی متغیرهای خطی می‌باشند و مقادیر y به عنوان اطلاعات تخمین زده شده از این مقادیر به عنوان خروجی می‌باشند (AsadiHaroni and Lavafan, 2004). در این مطالعه با استفاده از داده‌های استر در محدوده مادون قرمز طول موج کوتاه SWIR دگرسانی‌های آرژیلیک، فیلیک و پروپیلیتیک مشخص شده است. از آنجایی که کانی کائولینیت از کانی‌های شاخص دگرسانی آرژیلیک و در باند ۶ استر (باند ۳ ناحیه طول

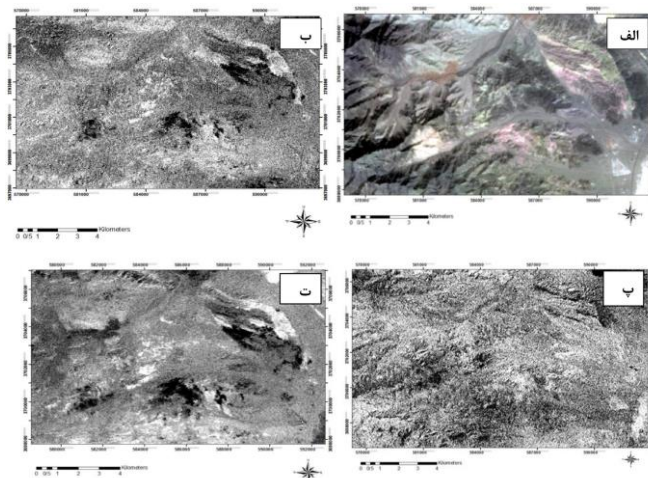
منطقه در نظر گرفت. در ابتدا جهت شناسایی دگرسانی‌های گرمابی در منطقه از تصاویر ماهواره‌ای استفاده شد که در زیر به شرح آن می‌پردازیم.

شناسایی دگرسانی‌های گرمابی با استفاده از داده‌های سنجنده ASTER در آندیس مس- طلا شرق شجاع‌آباد از سنجنده ASTER، جهت شناسایی دگرسانی‌های گرمابی، به خصوص زون‌های فیلیک و آرژیلیک و پروپیلیتیک استفاده شده است. در گام نخست با استفاده از روش ترکیب رنگی کاذب، زون‌های آرژیلیک و پروپیلیتیک شناسایی و تفکیک شدند، و در نهایت با استفاده از روش کمترین مربعات رگرسیون شده (Ls-Fit) و روش تبدیل کمترین (MNF) دگرسانی‌های آرژیلیکی و کسر نویز (ENVI) دگرسانی‌های آرژیلیکی و پروپیلیتیکی با سطح اعتماد بالاتری از دیگر مناطق تفکیک شدند که از نقشه‌های به دست آمده می‌توان برای مطالعات تفصیلی برای اکتشاف مناطق مستعد کانی‌زایی مس استفاده نمود. پس از تهییه تصویر استر محدوده موردنظر و انجام مراحل پیش پردازش بر روی تصویر طیف‌های موجود در پیکسل‌های تصویر استر با کتابخانه طیفی دیجیتال سازمان زمین‌شناسی آمریکا (USGS) موجود در نرم‌افزار ENVI مورد مقایسه قرار گرفت. در این روش دو کانی کلریت و اپیدوت به عنوان کانی شاخص زون پروپیلیتیک، کانی‌های کائولینیت، ایلیت، دیکیت، پیروفیلیت و مونت-موریونیت به عنوان شاخص زون آرژیلیک انتخاب شدند (Hunt and Ashley, 1997). در مرحله بعد پردازش داده‌های استر منطقه به روش‌های گوناگون از جمله روش ترکیب رنگی کاذب، روش کمترین مربعات رگرسیون شده (Ls-Fit) و روش تبدیل کسر کمترین نویز (MNF) برای تشخیص

تصویر باقی مانده است (شکل ۴ پ). روش Ls-Fit نسبت به روش نسبت باندی در بارزسازی دگرسانی‌های آرژیلیک و پروپیلیتیک موفق‌تر بوده است.

روش تبدیل کم‌ترین کسر نویز (MNF): یکی از روش‌های متداول برای رفع ابهام پیکسل‌های مخلوط روش MNF است. این تبدیل یک تبدیل خطی است که برای مشخص کردن بعد و حجم اصلی تصویر، جدا کردن نویز از دیگر اطلاعات و کاهش میزان پردازش در مرحله‌ی بعد استفاده می‌شود. به همین منظور روش MNF بر روی تصویر استر منطقه برای بارزسازی دگرسانی‌ها انجام گرفت (شکل ۴ ت). در تصویر موردنظر پیکسل‌های تیره دگرسانی آرژیلیکی و پیکسل‌های روشن دگرسانی پروپیلیتیکی را نشان می‌دهند.

موجی SWIR) دارای جذب بالایی بوده، لذا روش Ls-Fit بر روی تمامی ۶ باند ناحیه SWIR به عنوان باندهای ورودی و باند ۶ استر به عنوان باند مدل‌سازی شده اجرا می‌شود. در تصویر مربوطه باقی مانده (شکل ۴ ب) پیکسل‌های تیره به دلیل جذب بالای کائولینیت در باند ۶، دگرسانی آرژیلیک را نشان می‌دهد. در نتیجه دگرسانی آرژیلیک با پیکسل‌های تیره مشخص می‌شود. همچنین جهت مشخص کردن دگرسانی پروپیلیتیک، به دلیل جذب بالای کانی شاخص این دگرسانی (کلریت) در باند ۸ استر (باند ۵ ناحیه طول موجی SWIR)، ۶ باند SWIR به عنوان باندهای ورودی و باند ۸ استر به عنوان باند مدل‌سازی در نظر گرفته شده و مانند مرحله قبل به دلیل مدل‌سازی نسبت به یک باند جذبی، پیکسل‌های تیره نشانگر دگرسانی پروپیلیتیک در



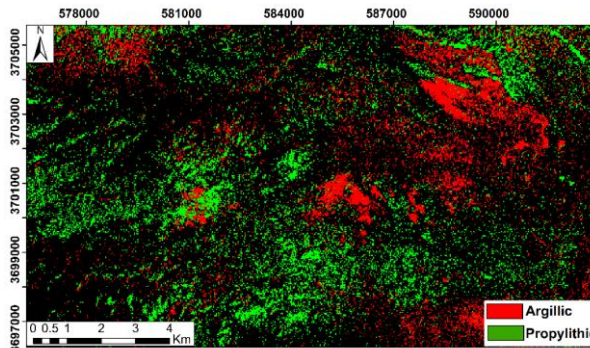
شکل ۴: تصاویر مربوط به مطالعات دورستجوی: (الف) ترکیب رنگی (RGB: 468:468:468) کانی‌های رسی و سرسیت به رنگ صورتی و کلریت واپیدوت به رنگ سبز، (ب) تصویر Ls-Fit منطقه که در آن پیکسل‌های تیره دگرسانی آرژیلیکی را نشان می‌دهد، (پ) تصویر Ls-Fit منطقه که در آن پیکسل‌های تیره دگرسانی پروپیلیتیکی را نشان می‌دهد، (ت) تصویر MNF منطقه که در آن پیکسل‌های تیره دگرسانی آرژیلیکی و پیکسل‌های روشن دگرسانی پروپیلیتیکی را نشان می‌دهد.

محیط ArcGis ترسیم شد (شکل ۵). همان‌طور که در نقشه مشخص است دگرسانی پروپیلیتیکی

بعد از پردازش داده‌های استر منطقه به روش‌های گوناگون، نقشه نهایی زون‌های دگرسانی منطقه در

آرژیلیکی است، می‌توان گفت منطقه شرق شجاع-آباد جزء ذخایر سولفیداسیون پایین است.

گسترش زیادی نسبت به دگرسانی آرژیلیکی دارد و با توجه به اینکه دگرسانی در انواع کانسارهای سولفیداسیون پایین از نوع پروپیلیتیکی تا



شکل ۵: نقشه نهایی زون‌های دگرسانی: دگرسانی‌های آرژیلیک و پروپیلیتیک به ترتیب با رنگ‌های قرمز و سبز نمایش داده شده است.

از جمله دیوریت، آمفیبولها و پیروکسن‌ها تحت-تأثیر دگرسانی کلریتی قرار گرفته‌اند (شکل ۶ ب).

بنابراین حضور کلریت در منطقه نشان از دگرسانی کانی‌های فرومینیزین و پلازیوکلاز موجود در سنگ‌های منطقه یا هجوم سیالات غنی از آهن، منیزیم و آلومینیوم به سنگ میزبان اولیه است.

دگرسانی اپیدوتی: در مشاهدات میکروسکوپی پلازیوکلازها طی فرایند سوسوریتیزاسیون از سمت مرکز و گاه کاملاً به اپیدوت جایگزین شده است که حاکی از تجزیه جزو آنورتیتی پلازیوکلازهای کلسیم‌دار در اثر هجوم محلول‌های گرمابی می‌باشد (شکل ۶ ت). در اثر پیشرفت دگرسانی قالب کانی‌های فرومینیزین و پلازیوکلازها به‌طور کامل توسط اپیدوت و به مقدار کمتر کلریت جایگزین شده است (شکل ۶ ث) یا به صورت رگچه‌ای سنگ‌های آذرآواری را قطع نموده است (شکل ۶ ج).

دگرسانی کلسیتی: حضور کلسیت در سامانه‌های گرمابی به غلظت بالای  $\text{CO}_2$  نسبت داده می‌شود که باعث افزایش قلمرو پایداری کلسیت و کاهش

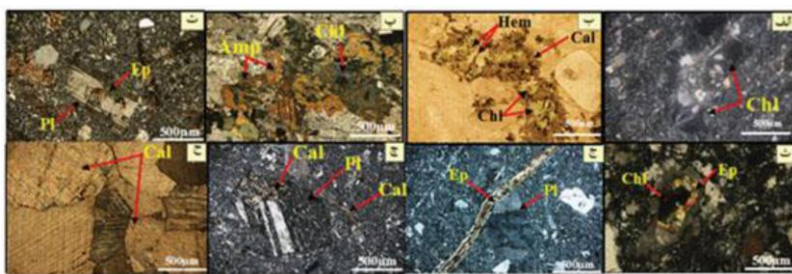
شناسایی دگرسانی‌های گرمابی با استفاده از مطالعات میکروسکوپی

دگرسانی پروپیلیتیکی: این دگرسانی گسترده‌ترین نوع دگرسانی در منطقه است و عمدتاً سنگ‌های آتشفسانی ( توف و ریوداسیت ) حاشیه منطقه حاوی کانه‌زایی را تحت تأثیر قرار داده و دیگر دگرسانی‌ها را در بر می‌گیرد. تشکیل هرکدام از کانی‌های اصلی دگرسانی پروپیلیتیک باعث ایجاد زیر زون‌های فرعی در این نوع دگرسانی می‌شود که عبارتند از: کلریتی‌شدن، آلبیتی‌شدن و کربناتی‌شدن (Evans, 1992). در منطقه مورد مطالعه زون‌های کلریتی، اپیدوتی و کلسیتی مشاهده شد. به‌طور کلی می‌توان گفت، محلول-های گرمابی غنی از  $\text{Na}$ ,  $\text{Ca}$ ,  $\text{Fe}$ ,  $\text{Mg}$  و یا  $\text{Bi}$ -کربنات موجب تشکیل این نوع دگرسانی می‌شوند.

دگرسانی کلریتی: در توف‌های منطقه کلریت با بافت شعاعی به صورت پرکننده فضای باز رشد کرده‌اند (شکل ۶ الف). در بعضی مناطق رگچه‌های کلسیتی-کلریتی همراه با همایت مشاهده می‌شود (شکل ۶ ب). در توده‌های نفوذی منطقه

جانشینی کلسیت به جای کانی‌های مانند پلازیوکلاز و همچنین به صورت رگچه‌ای (پرکننده فضای خالی) و تأخیری در زمینه سنگ اولیه دیده می‌شود (شکل ۶ ج). به‌طور کلی دگرسانی کلسیتی در منطقه بسیار گسترده بوده و کلسیت‌هایی با رخ‌های واضح قابل رویت است (شکل ۶ ح).

نسبت  $a\text{Ca}^{+2}/a\text{H}^{+}$  می‌شود (موک و سیمپسون، ۲۰۰۷). در بیشتر سنگ‌های آتش‌فشاری و آذرآواری منطقه رگچه‌های کربناتی از جنس کلسیت مشاهده می‌شود. اغلب توف‌ها در منطقه تحت‌تأثیر محلول‌های کربناته قرار گرفته‌اند. کربناتی‌شدن در سنگ‌های منطقه به صورت



شکل ۶: تصاویر میکروسکوپی از دگرسانی‌های منطقه مورد مطالعه: (الف) کلریت با بافت شعاعی به صورت پرکننده فضای باز (XPL)، (ب) رگچه کلسیتی-کلریتی همراه با هماتیت (PPL)، (پ) آمفیبول‌های متقطع کلریتی شده در دیوریت (XPL)، (ت) سوسوریتی‌شدن کانی پلازیوکلاز از مرکز به حاشیه و ایجاد ادخال‌های اپیدوت در مرکز پلازیوکلاز (XPL)، (ث) تجزیه کامل پلازیوکلاز به اپیدوت (XPL)، (ج) رگچه اپیدوت و کلریت (XPL)، (د) کلسیت با رخ‌های سه جهت (PPL)، (ز) کلسیت در کانی پلازیوکلاز همراه با رگچه کلسیتی (XPL)، (ح) کلسیت با رخ‌های سه جهت (PPL) (Qz: Quartz, Pl: Plagioclase, Chl: Chlorite, Ep: Epidote, Amp: Amphibole, Ser: Sericite, Cal: Calcite) (Kertz, 1983).

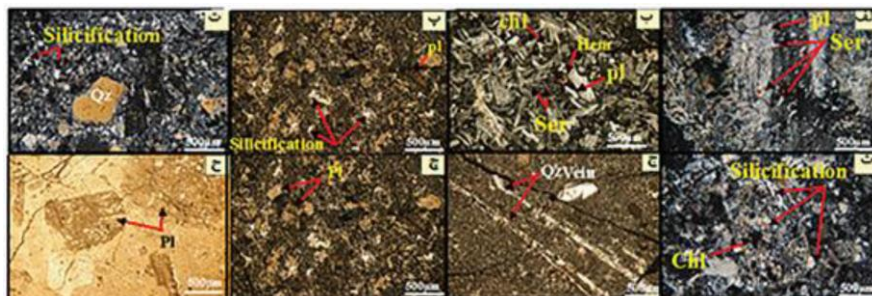
شده است (شکل ۷ الف). در توده‌های نفوذی نیمه عمیق منطقه (دولریت‌ها)، هماتیت در بین میکرولیت‌های پلازیوکلازی که سریسیتی و کلریتی شده‌اند، قابل مشاهده است (شکل ۷ ب). دگرسانی سیلیسی: سیلیسی‌شدن یکی از دگرسانی‌های مهم در منطقه به شمار می‌آید و در مقاطع میکروسکوپی به دو صورت انتشاری و رگچه‌ای دیده می‌شود. در فرایند سیلیسی‌شدن انتشاری، شکسته شدن ساختار فلدسپارها و پلازیوکلازها و شست و شوی کاتیون‌های قلیایی در پهنه سریسیتیک و آرژیلیک منجر به تشکیل کانی‌های رسی و آزاد نمودن مقادیر نسبتاً زیادی سیلیس به صورت دانه‌ریز در متن سنگ و به صورت رگه-رگچه‌ای شده است (شکل ۷ پ). بیشترین دگرسانی سیلیسی در توف‌های منطقه و

دگرسانی سریسیتی: سریسیتی‌شدن یکی از انواع دگرسانی‌هایی است که در سنگ‌های منطقه دیده می‌شود. سریسیت نام عمومی اعضاًی دانه‌ریز گروه میکا به خصوص موسکوویت است که در کانسارهای اپیترمال در شرایط نسبتاً اسیدی و در محدوده دمایی ۲۰۰ تا ۲۵۰ درجه سانتی‌گراد تشکیل می‌شود. دگرسانی فیلیک یا سریسیتی در منطقه در سنگ میزان توف و ریوداسیت و در توده‌های نفوذی منطقه قابل تشخیص است. دگرسانی سریسیتی در منطقه از وسعت کمتری برخوردار بوده و شامل سریسیت، کوارتز، پیریت و کانی‌های رسی می‌باشد که جایگزین کانی‌هایی مانند فلدسپارها شده‌اند. براساس مشاهدات میکروسکوپی، درشت بلورهای فلدسپار و پلازیوکلاز به صورت بخشی به سریسیت تبدیل

بین ۱۰۰ تا ۳۰۰ درجه سانتی‌گراد مشخص می‌گردد. در این دگرسانی کانی‌های رسی جانشین پلاژیوکلازهای قلیایی و سیلیکات‌های مافیک (هورنبلند و بیوتیت) می‌شوند (Pirajno, 2009). با توجه به بررسی‌های صحرایی و میکروسکوپی دگرسانی آرژیلیک نسبت به بقیه دگرسانی‌ها در منطقه از وسعت کمی برخوردار است. از مطالعه ماکروسکوپی انواع سنگ‌های این اندیس مس-طلاء که تحت تأثیر دگرسانی آرژیلیک قرار گرفته‌اند، مشخص شد که فنوکریست‌های پلاژیوکلاز به رنگ سفید غیرعادی و خیلی روشن دیده می‌شود. در مقاطع میکروسکوپی اکسایش پیریت‌ها منجر به تشکیل هماتیت و گوئتیت و در نتیجه تولید اسید سولفوریک شده است که این شرایط اسیدی سبب تجزیه و کدر نمودن سطح پلاژیوکلازها و فلدسپارها در زمینه سیلیسی ریز دانه شده است (شکل ۷ ج). همچنین پلاژیوکلازهای موجود در زمینه توف‌های منطقه کاملاً رسی شده‌اند (شکل ۷ ح).

در ایگنیمبریت‌ها رخ داده است به گونه‌ای که در این سنگ‌ها دو نسل سیلیس وجود دارد. نسل اول سیلیس‌هایی هستند که دانه درشت بوده و از سنگ اولیه به ارث رسیده‌اند و نسل دوم سیلیس‌هایی که متن زمینه را پر کرده‌اند (شکل ۷ ت). پلاژیوکلازها در توف‌های منطقه تحت تأثیر دگرسانی به کانی‌های رسی، سیلیس و در بعضی موارد که عناصر سازنده‌ی کلریت در محیط موجود باشند، آثار کلریت در بین محصولات دگرسانی حاصل از پلاژیوکلازها نیز قابل مشاهده است (شکل ۷ ث). همچنین سیلیسی شدن به صورت رگه و رگچه‌های سیلیسی به صورت تأخیری و خیلی کم در توف‌ها رخ داده است (شکل ۷ ج)، این رگچه‌های سیلیسی در واقع شکستگی‌های سنگ اولیه هستند که توسط محلول دگرسان‌کننده پر شده‌اند.

**دگرسانی آرژیلیکی:** دگرسانی آرژیلیک به‌طور کلی با حضور کانی‌های رسی مانند ایلیت، کائولینیت و مونتموریونیت مشخص می‌گردد و به دلیل متابسوماتیسم  $H^+$  و آبشویی اسیدی در حرارت‌های



شکل ۷: تصاویر میکروسکوپی از دگرسانی‌های منطقه مورد مطالعه: (الف) پلاژیوکلازهای سریسیتی شده در توف (XPL)، (ب) هماتیت در بین پلاژیوکلازهای سریسیتی و کلریتی شده (XPL)، (پ) پلاژیوکلازهای رسی شده و آزاد شدن مقدار زیادی سیلیس ریزدانه در متن سنگ (XPL)، (ت) توف سیلیسی شده (XPL)، (ث) پلاژیوکلاز سیلیسی شده در توف همراه با کلریتی شدن (XPL)، (ج) رگچه‌های سیلیسی تأخیری در توف (XPL)، (ز) پلاژیوکلازهای رسی شده در پهنه دگرسانی آرژیلیک به همراه سیلیسی شدن (XPL)، (ح) سیمای میکروسکوپی از کدر شدن سطح پلاژیوکلازها در پهنه دگرسانی آرژیلیک (PPL).

(Qz: Quartz, Pl: Plagioclase, Chl: Chlorite, Ep: Epidote, Amp: Amphibole, Ser: Sericite, Cal: Calcite)(Kertz, 1983).

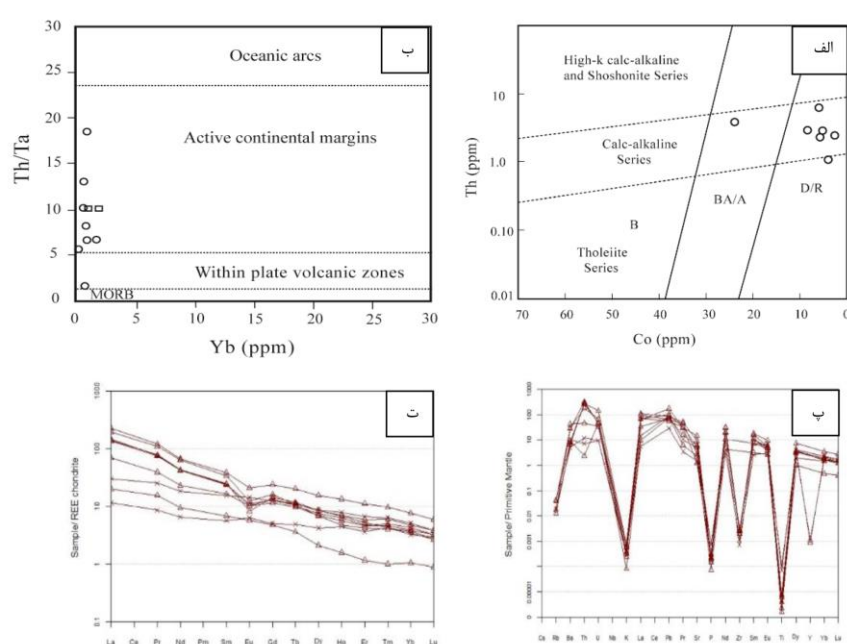
- ویژگی سنگ‌هایی است که با پوسته آلایش یافته-  
اند (Dostal et al, 2001). غنی‌شدگی از U و Th در ارتباط با اضافه شدن مذاب حاصل از رسوبات و یا مذاب‌های حاصل از ذوب پوسته اقیانوسی دگرسان شده به منبع ذوب‌شدگی گوه گوشت‌های می‌باشد (Fan et al, 2003). با توجه به اینکه در سنگ‌های حاصل شده از پوسته عناصر U و Th دارای فراوانی بالایی هستند، بنابراین بالا بودن این عناصر در سنگ‌های مورد مطالعه را می‌توان به آلایش ماقما با سنگ‌های پوسته‌ای در هنگام صعود به طبقات بالاتر ارتباط داد. از طرفی تهی-  
شدگی عنصر Ti بیانگر نقش پوسته در تولید ماقما و ناهنجاری منفی عنصر مذکور بیانگر ماقماتیسم مرتبط با مناطق فروزانش است (Kamber et al, 2002). همچنین آنومالی منفی Ti به حضور کانی میزبان آن (کانی تیتان‌دار) در باقی مانده ذوب نیز اشاره می‌نماید. همچنین همان‌طور که از نمودار مشخص است Pb نیز غنی-  
شدگی نسبت به گوشته اولیه نشان می‌دهد که نشانه متاسوماتیسم منشأ در اثر سیالات در محیط فروزانش است (Seghedi et al, 2005). با توجه به نمودار بهنجار شده نسبت به کندریت (Nakamura, 1974) (شکل ۸ ت)، نمونه‌ها دارای غنی‌شدگی از LREEs به میزان ۱۰ برابر HREEs می‌باشد. آنومالی Eu در مذاب‌های فلزیکی توسط فلدسپارها کنترل می‌شود (Rollinson, 1993). این عنصر در فلدسپارها سازگار است و جدایش این کانی از مذاب سبب پیدایش آنومالی منفی Eu در مذاب می‌شود. پس آنومالی منفی در نمونه‌های منطقه به همین دلیل است، اما از طرفی سنگ-  
های آذرین درونی منطقه دیوریت‌های هورنبلندر آنومالی جزئی مثبت از Eu نشان می‌دهند و این رفتار آن به تبلور کانی هورنبلندر نسبت داده

## زمین‌شیمی

به منظور مطالعات زمین‌شیمی تعداد ۱۰ عدد نمونه سنگی از نمونه‌های نسبتا سالم و دگرسان انتخاب شدند. نمونه‌های سنگی با استفاده از روش فلورسانس پرتو ایکس (XRF) جهت تعیین میزان عناصر اصلی در دانشگاه اصفهان مورد تجزیه قرار گرفت. همچنین نمونه‌ها جهت آنالیز عناصر کمیاب و نادر خاکی به روش ICP-MS به آزمایشگاه ACME کانادا ارسال شد که نتایج آنالیزها در جدول ۱ ارائه شده است. جهت رده-  
بندي سنگ‌های مورد مطالعه با توجه به اینکه این نمونه‌ها تحت تأثیر دگرسانی قرار داشته‌اند، از نمودارهایی که براساس عناصری که دارای تحرک پایینی هستند بهره گرفته شد. به منظور رده‌بندی نمونه‌های آتش‌شانی دگرسان از عناصر کم‌تحرک (Hastie et al, 2007) استفاده می‌گردد (Co و Th). با توجه به این نمودار (شکل ۸ الف)، نمونه‌های مورد مطالعه در محدوده سنگ‌های حدواسط تا اسیدی قرار گرفته و ماقمای مادر آنها از نوع کالک آلکالن می‌باشد. همچنین جهت تعیین جایگاه تکتونیکی نمونه‌های مورد بررسی از Schandl and Gorton, (Yb-Th /Ta) نمودار (2002) بهره گرفته شد. با توجه به این نمودار، نمونه‌ها بیانگر محیط حاشیه فعال قاره‌ای هستند (شکل ۸ ب). با توجه به نمودار بهنجار شده (McDonough and Sun, 1995) نسبتیه گوشته (شکل ۸ پ)، نمونه‌های مورد مطالعه از عناصر لیتوفیل بزرگ یون مانند Ba, Th, U, Sr غنی و از عناصر Zr, Y, Ti, مشتق از ورقه (صفحه) فرو-  
ماگماهای مرتبط با فروزانش (Wilson, 1989) و بیانگر دخالت سیالات مشتق از رونده یا رسوبات همراه آن است (Yan et al, 2008). از طرفی بالا بودن نسبت LILE/HFSE از

توجه به حضور گارنت در باقیمانده ذوب غلظت در مذاب کمی بیش از دو عنصر مذکور مشاهده می‌شود. بنابراین طبق بررسی‌های انجام شده و کالک‌آلکالن بودن ماقماً و با توجه به اینکه برای شکل‌گیری کانسارهای گرمایی به مقدار آب زیادی (حدود ۳٪ وزنی) نیاز است (Barnes, 1997)، پس ماقماًی مولد منطقه دارای مقدار آب کافی برای ایجاد دگرسانی‌ها و متعاقباً کانسارسازی می‌باشد. برای تعیین میزان اسیدیته محلول کانه‌ساز از تغییرات La/Y که پارامتر مؤثری برای این منظور است استفاده گردید. به عقیده کرینکی و ژارکویک (Crinc and Jurkowic, 1990) در صورتی که این نسبت کمتر از ۱ باشد بیانگر شرایط اسیدی و اگر بیشتر از ۱ باشد تعیین کننده محلولی با pH قلیایی است. نسبت La/Y در نمونه‌های مورد مطالعه متغیر (۰.۰۷-۲.۵) داماً عمدتاً بیانگر محلول کانه‌ساز با pH قلیایی را نشان می‌دهد.

می‌شود، زیرا تبلور آن موجب آنومالی مثبت در مذاب می‌شود (Rollinson, 1993) غنی‌شدگی LREEs نسبت به HREEs به مشارکت کانی‌های غنی از LREEs نظیر فلدسپار، آپاتیت، زیرکن و HREEs اسفن و عدم حضور کانی‌های غنی از HREEs مانند گارنت در مذاب تولیدکننده سنگ و باقی ماندن آنها به صورت تفاله در سنگ منشأ نسبت داده می‌شود (Rollinson, 1993). شبیه نمودار بهنجارسازی نسبت به کندریت نمونه‌ها (شکل ۸) منفی است و با توجه به این موضوع، سری ماقماًی منطقه از نوع کالک‌آلکالن می‌باشد. آنومالی مثبت کوچک Tm در میان عناصر نادر خاکی سنگین وجود دارد و از آنجا که این عنصر در میان کانی‌ها در مگنتیت ضریب توزیع بالاتری دارد می‌توان به بالا بودن فوگاسیته اکسیژن پی برد. همپنین Tm نسبت به دو عنصر Lu و Yb سازگاری کمتری در گارنت به عنوان میزبان HREEs دارد (Rollinson, 1993) که با



شکل ۸: الف) نمودار Th-Co، ب) موقعیت تکتونوماقماًی نمونه‌های منطقه در نمودار Yb در برابر Th/Ta، پ) نمودار عنکبوتی عناصر کمیاب بهنجار شده نسبت به گوشه‌های اولیه، ت) نمودار بهنجار شده عناصر REE به کندریت.

جدول ۱: نتایج تجزیه نمونه‌های سنگی شرق شجاع آباد

| Sample No.                     |     | S1     | S2     | S3     | S4    | S5    | S6     | S7     | S8    | S9     | S10    |
|--------------------------------|-----|--------|--------|--------|-------|-------|--------|--------|-------|--------|--------|
| SiO <sub>2</sub>               | wt% | 69.81  | 67.89  | 64.50  | 68.54 | 48.14 | 68.71  | 73.96  | 81.09 | 31.18  | 46.55  |
| Al <sub>2</sub> O <sub>3</sub> |     | 13.60  | 12.30  | 13.60  | 3.88  | 16.50 | 13.30  | 13.60  | 1.99  | 7.17   | 11.20  |
| Fe <sub>2</sub> O <sub>3</sub> |     | 3.04   | 2.52   | 3.96   | 9.30  | 12.66 | 3.78   | 2.26   | 7.67  | 12.21  | 9.17   |
| MgO                            |     | 0.398  | 0.232  | 0.362  | 0.447 | 5     | 0.382  | 0.491  | 0.201 | 3.97   | 1.84   |
| CaO                            |     | 1.39   | 4.52   | 4.52   | 9.55  | 6.01  | 3.07   | 0.972  | 5.25  | 19.86  | 15.29  |
| Na <sub>2</sub> O              |     | 1.31   | 0.992  | 1.13   | 0.160 | 2.93  | 3.11   | 4.03   | 0.069 | 0.120  | 3.24   |
| K <sub>2</sub> O               |     | 7.36   | 7.51   | 7.81   | 0.981 | 2.44  | 3.46   | 2.69   | 0.248 | 0.436  | 0.986  |
| TiO <sub>2</sub>               |     | 0.307  | 0.258  | 0.280  | 0.092 | 0.947 | 0.483  | 0.415  | 0.037 | 0.305  | 0.855  |
| P <sub>2</sub> O <sub>5</sub>  |     | 0.075  | 0.059  | 0.065  | 0.054 | 0.22  | 0.096  | 0.073  | 0.034 | 0.083  | 0.2    |
| MnO                            |     | 0.051  | 0.044  | 0.044  | 0.044 | 0.209 | 0.159  | 0.036  | 0.062 | 0.246  | 0.315  |
| Cr <sub>2</sub> O <sub>3</sub> | ppb | 0.060  | 0.082  | 0.065  | 0.029 | 0.026 | 0.071  | 0.046  | 0.040 | 0.056  | 0.041  |
| LOI                            |     | 2.599  | 2.593  | 3.664  | 6.981 | 4.918 | 3.379  | 1.427  | 3.309 | 24.364 | 10.313 |
| Ag                             |     | 2037   | 36     | 159    | 40    | 16    | 17     | 18     | 27    | 32     | 67     |
| Au                             |     | 7.9    | 0.9    | 1.7    | 1.3   | 1.1   | 1.3    | 2.3    | 1.2   | 2.8    | 1.5    |
| Co                             |     | 5.8    | 5.2    | 5.6    | 4.8   | 11.5  | 8.3    | 3.8    | 2.4   | 23.7   | 19.5   |
| As                             |     | 2.4    | 1.2    | 1.7    | 4.8   | 2.9   | 4.8    | 2.1    | 3.9   | 3      | 1.9    |
| Sr                             |     | 310.8  | 114.3  | 196.7  | 128.3 | 30.6  | 58.2   | 26.6   | 46.8  | 365.8  | 99.2   |
| Ta                             |     | 0.35   | 0.41   | 0.36   | 0.39  | 0.34  | 0.36   | 0.7    | 0.45  | 0.3    | 0.36   |
| Cd                             |     | 0.08   | 0.14   | 0.05   | 0.18  | 0.04  | 0.05   | 0.03   | 0.12  | 0.08   | 0.06   |
| Sb                             |     | 0.53   | 0.32   | 0.82   | 0.35  | 0.19  | 0.14   | 0.34   | 0.39  | 0.10   | 0.12   |
| Th                             | ppm | 6.43   | 2.75   | 2.39   | 2.9   | 3.41  | 2.9    | 1.1    | 2.5   | 3.9    | 3.6    |
| Sc                             |     | 1.3    | 1.4    | 1.7    | 1.4   | 15.5  | 2.2    | 1.1    | 0.6   | 11.6   | 14     |
| Tl                             |     | 0.04   | 0.03   | 0.03   | 0.03  | 0.03  | 0.03   | 0.02   | 0.02  | 0.06   | 0.03   |
| U                              |     | 1      | 1.4    | 3      | 0.7   | 0.2   | 0.9    | 1      | 1     | 1.5    | 0.2    |
| Ga                             |     | 1.4    | 1.1    | 3.7    | 1.2   | 10    | 1.3    | 3      | 0.4   | 1.1    | 6.6    |
| V                              |     | 11     | 6      | 13     | 20    | 176   | 13     | 9      | 103   | 98     | 135    |
| Zr                             |     | 199.88 | 162.87 | 199.88 | 7.40  | 96.24 | 214.69 | 244.30 | 14.81 | 74.03  | 59.22  |
| Y                              |     | 30     | 40     | 30     | 30    | 50    | 50     | 50     | 30    | 20     | 10     |
| Mo                             |     | 13.06  | 15.10  | 15.40  | 8.40  | 3.37  | 12.67  | 7.92   | 4.29  | 5.87   | 4.87   |
| W                              |     | 0.3    | 0.4    | 0.3    | 4.1   | 0.3   | 0.3    | 0.3    | 0.8   | 0.3    | 0.1    |
| Cu                             |     | 1098   | 45.50  | 134.3  | 31.03 | 6.17  | 30.54  | 19.05  | 18.52 | 110    | 59.38  |
| Zn                             |     | 14.4   | 19.1   | 10.2   | 19.9  | 85.7  | 31.4   | 11.8   | 5.1   | 110.1  | 64.4   |
| Pb                             |     | 12.17  | 7.14   | 6.02   | 5.08  | 2.05  | 4.45   | 3.94   | 5.25  | 13.04  | 6.30   |
| La                             |     | 45.2   | 46.8   | 75     | 22.8  | 3.8   | 65.2   | 48.3   | 6.6   | 11.7   | 10     |
| Nd                             |     | 26.77  | 26.93  | 41.86  | 14.45 | 4.11  | 40.20  | 26.37  | 5.93  | 11.32  | 11.58  |
| Sm                             |     | 4.83   | 5      | 7.76   | 3.32  | 1.15  | 6.86   | 4.89   | 1.39  | 2.73   | 3.13   |
| Eu                             |     | 0.79   | 0.63   | 1.61   | 0.78  | 0.49  | 0.95   | 0.84   | 0.44  | 0.79   | 1.11   |
| Gd                             |     | 3.68   | 3.98   | 6.61   | 3.16  | 1.37  | 4.42   | 3.62   | 1.32  | 2.92   | 3.43   |
| Tb                             |     | 0.48   | 0.55   | 0.95   | 0.46  | 0.23  | 0.51   | 0.52   | 0.17  | 0.43   | 0.52   |
| Dy                             |     | 2.54   | 2.89   | 5.32   | 2.36  | 1.44  | 2.31   | 2.86   | 0.72  | 2.24   | 2.97   |
| Ho                             |     | 0.44   | 0.49   | 0.93   | 0.39  | 0.31  | 0.33   | 0.48   | 0.11  | 0.36   | 0.55   |
| Er                             |     | 1.06   | 1.31   | 2.50   | 1.05  | 0.82  | 0.95   | 1.16   | 0.26  | 0.91   | 1.49   |
| Tm                             |     | 0.15   | 0.18   | 0.29   | 0.14  | 0.13  | 0.12   | 0.13   | 0.03  | 0.11   | 0.19   |
| Yb                             |     | 0.95   | 1.05   | 1.67   | 0.86  | 0.71  | 0.83   | 0.77   | 0.23  | 0.62   | 1.13   |
| Lu                             |     | 0.11   | 0.13   | 0.20   | 0.11  | 0.10  | 0.09   | 0.09   | 0.03  | 0.08   | 0.13   |
| La/Y                           |     | 1.51   | 1.17   | 2.5    | 0.76  | 0.07  | 1.30   | 0.96   | 0.22  | 0.58   | 1      |

جانشینی، زونهای و رگچهای اشاره کرد. کانه‌زایی در منطقه مس- طلا شرق شجاع‌آباد به صورت پراکنده (disseminated) و اغلب همراه با رگه‌های کوارتزی است. شکل ۹ یکی از رگه‌های سیلیسی موجود در منطقه را نشان می‌دهد. مس

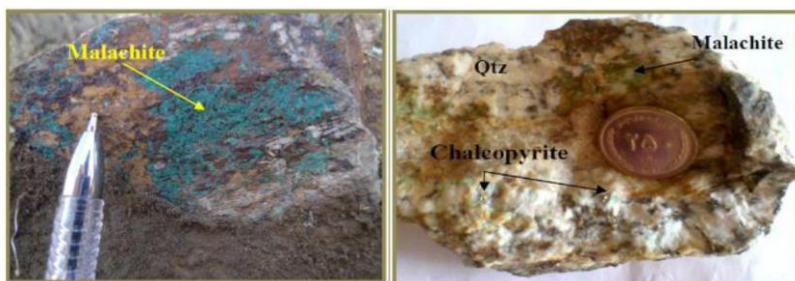
**کانی‌سازی**  
با توجه به انواع طبقه‌بندی‌های بافتی ارائه شده توسط (Craig and Vaughan, 1994) عمده‌ترین بافت مشاهده شده در کانسنگ منطقه، بافت افشنان است. از بافت‌های دیگر می‌توان به بافت

و ثانویه (سوپرژن) بوده (جدول ۲) که در زیر به شرح آن می‌پردازیم.

در قالب سولفیدها و کربنات‌های مس به صورت جزئی در رگه‌های سیلیسی حضور دارد (شکل ۱۰). کانه‌سازی در منطقه به دو صورت اولیه (هیپوژن)



شکل ۹: نمایش رگه سیلیسی موجود در منطقه



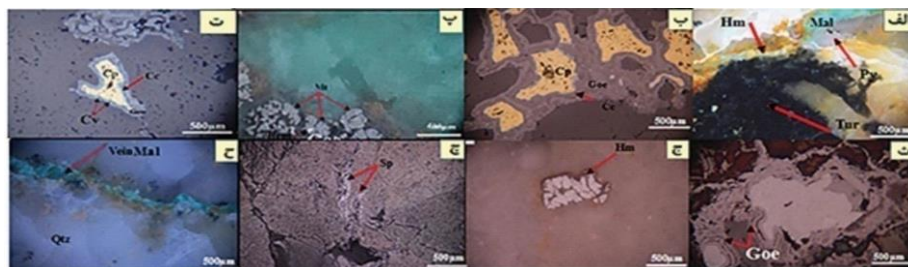
شکل ۱۰: نمایش کانه‌زایی موجود در رگه‌های سیلیسی به صورت مالاکیت و کالکوپیریت

سولفیدی تشکیل شده که توسط کوولیت، کالکوسیت و هیدروکسیدهای آهن جانشین می‌شود و معمولاً به صورت هاله‌هایی در اطراف آن مشاهده می‌شوند (شکل ۱۱ ب). البته شایان ذکر است که میزان پیریت و کالکوپیریت در منطقه ناچیز و بیشتر به صورت ذرات ریز و پراکنده یافت می‌شوند. کانه‌زایی در منطقه درونزad به صورت افسان با کانی‌های مگنتیت نیز نمایان است که البته به نسبت پیریت و کالکوپیریت درصد کمتری دارد. مگنتیت یک فاز اکسیدی اولیه است که به صورت بلورهای بی‌شکل تا نیمه‌شکل دار با بافت پراکنده در جوار هماتیت تشکیل شده است (شکل ۱۱ پ). کانی‌سازی در مرحله سوپرژن با کانی کالکوسیت با بیشترین فراوانی و کوولیت عمدتاً به

**مراحل مختلف کانی‌سازی**  
کانی‌سازی اولیه، عمدتاً به صورت انتشاری، پرکننده فضای خالی و رگچه‌ای رخ داده است. سنگ میزبان این نوع کانی‌سازی عموماً از نوع آتشفشنی (آندزیت) و آذرآواری (توف) متغیر است. مهم‌ترین کانی‌های اولیه قابل تشخیص در منطقه درونزad از نوع سولفیدی بوده و به ترتیب شامل پیریت و کالکوپیریت می‌باشد. پیریت فراوان‌ترین کانی اولیه و سولفیدی است که به صورت بلورهای بی‌شکل تا شکل‌دار در منطقه به صورت اکسید شده و پراکنده در متن سنگ‌ها به چشم می‌خورد. در واقع تنها آثار انحلال یافته مکعبی آن در سنگ‌ها دیده می‌شود (شکل ۱۱ الف). کالکوپیریت به صورت یک کانی اولیه

هاست. هماتیت از فراوان‌ترین محصولات کانی-سازی زون اکسیدان در منطقه است. این کانی در مقاطع میکروسکوپی بافت‌های متنوعی نشان می-دهد. بر مبنای مطالعات بافتی دو نوع هماتیت تشخیص داده شد که نوع اول آن در اثر مارتیتی-شندن بلورهای شکل‌دار مگنتیت که به صورت تجمعی دیده می‌شود (شکل ۱۱ ج) و نوع دوم هماتیت به فرم بلوری کشیده (اسپیکولاویریت) که در امتداد شکستگی‌ها و گاهًا به صورت پراکنده تشکیل شده‌اند (شکل ۱۱ چ). از کانی‌های کربناته مس که در سنگ‌های منطقه به چشم می‌خورد ملاکیت است. تشکیل ملاکیت در منطقه به صورت جزئی و سطحی صورت گرفته است که با توجه به نتایج حاصل از تجزیه‌های ژئوشیمیایی و پایین بودن عیار عنصر مس (غالبًاً کمتر از ۵۰۰ ppm) در اکثر نمونه‌ها، این پدیده در پهنه کانی-سازی شده منطقی به نظر می‌رسد. در مطالعات میکروسکوپی ملاکیت عمدتاً در رگه‌های سیلیسی نیز قابل مشاهده است شکل (۱۱ ج).

صورت بافت جانشینی مشخص می‌شود. کالکوپیریت به صورت بافت جانشینی در اطراف کالکوپیریت به میزان بسیار کم تشکیل شده است. بافت‌های جانشینی کالکوپیریت در بررسی‌های میکروسکوپی شامل تشکیل کالکوپیریت در امتداد شکستگی برای جایگزینی پیریت و کالکوپیریت اولیه، بافت محدب و مقعر و جزیره‌های باقیمانده از کالکوپیریت در میان کالکوپیریت می‌باشد که نشان‌دهنده جانشینی کالکوپیریت به جای کانی-های سولفیدی اولیه می‌باشد (شکل ۱۱ ت). هرچند که کوولیت یک کانی شاخص منطقه سولفیدی غنی‌شده ثانویه است، اما بر پایه مطالعات میکروسکوپی، این کانی به ندرت مشاهده شد. در کانی‌سازی ثانویه در شرایط اکسیدان و هوازدگی دو کانی هماتیت و گوتیت در مقاطع میکروسکوپی مشاهده می‌شوند. گوتیت به صورت بافت کلوفرمی گوتیت (شکل ۱۱ ث) نشان‌دهنده تهنشست این کانی در شرایط حرارت پایین و در فضای خالی بین سایر کانی-



شکل ۱۱: تصاویر میکروسکوپی از کانی‌های فلزی منطقه شجاع آباد: (الف) اکسیدشدن پیریت و برجای ماندن هماتیت همراه با ملاکیت و تورمالین (RXPL)، (ب) جانشینی کالکوپیریت توسط کالکوپیریت و گوتیت (RPPL)، (پ) مگنتیت همراه با هماتیت (RPPL)، (ت) جانشینی کالکوپیریت توسط کوولیت و کالکوپیریت همراه با هاله گوتیتی (RPPL)، (ث) بافت کلوفرمی گوتیت در رگه سیلیسی (RPPL)، (ج) قالب مگنتیت که پس از جانشینی کامل توسط هماتیت، پدیده پسودومورفیسم را به نمایش گذاشته است (مگنتیت هماتیتی شده) (RPPL)، (چ) نمایش کانی اسپیکولاویریت (هماتیت صفحه‌ای) با بافت بلوری کشیده فضای خالی (RPPL)، (ح) رگه ملاکیتی درون رگه سیلیسی (RXPL).

اسفالریت: Sp، گوتیت: Goe، ملاکیت: Mal، هماتیت: Cv، کوولیت: Kertz, 1983).

جدول ۲: توالی پاراژنزی مراحل کانی‌سازی، اندیس مس-طلا شرق شجاع‌آباد.

| کانی‌ها    | کانی‌سازی اولیه | کانی‌سازی ثانویه |
|------------|-----------------|------------------|
| مگنتیت     | —               |                  |
| پیریت      | —               |                  |
| کالکوپیریت | —               |                  |
| کالکوسیت   |                 | —                |
| کوولیت     |                 | —                |
| مالاکیت    |                 | —                |
| هماتیت     | —               |                  |
| کلسیت      | —               |                  |
| گوتیت      |                 | —                |
| کوارتز     | —               | —                |

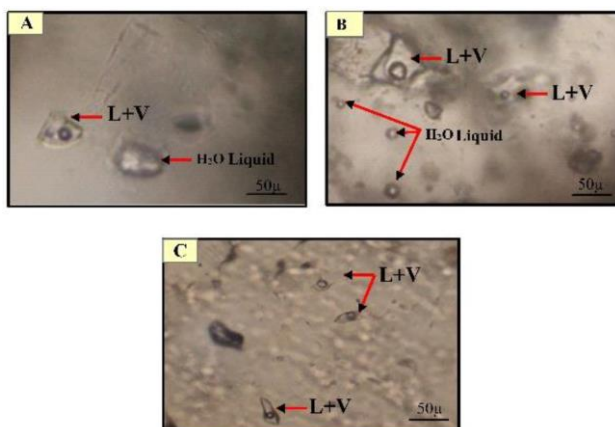
میانبارهای سیال توسط میکروسکوپ نوری با مشخصات Olympus با نور عبوری مدل BH-2 انجام شده است که شامل بررسی شکل، فراوانی، محتوا و کانی‌های دختر و پدیده‌های ثانویه مثل گردن‌دار شدن و نشت است. مطالعات پتروگرافی انجام شده نشان از وجود سیالات درگیر عمدتاً اولیه و به مقدار کم سیالات درگیر ثانویه است. اکثر نمونه‌ها دارای شکل کروی می‌باشند (شكل ۱۲). میانبارهای سیال اولیه در امتداد پهنه‌های رشد کوارتز به دام افتاده و مستطیلی تا بیضی شکل بوده و میانبارهای سیال ثانویه، ادخال‌های اولیه و مرزهای رشد کوارتز را قطع می‌کنند و در درون بلور مجاور ادامه می‌یابند یا اینکه در امتداد شکستگی‌ها تشکیل شده و معمولاً بی‌شكل هستند (Roedder and Bodnar, 1997; Roedder, 1979; Shepherd et al, 1985) پتروگرافی‌های انجام شده از میانبارهای سیال فازهای جامد نمک مشاهده نشد که بیانگر این حقیقت است که میزان شوری سیالات کانه‌ساز در این منطقه کم بوده است. مطالعه پتروگرافی و ریز دماسنگی صورت گرفته در سیالات درگیر موجود در بلورهای کوارتز، منجر به مشاهده سیال درگیر

میانبارهای سیال حجم‌های کوچکی از سیال در درون یک بلور هستند که ممکن است در طول پهنه‌های رشد یا هرگونه نقص بلورین در طی رشد بلور به دام افتاده باشند (Wiesheu and Hein, 1998). این سیال‌ها در کانسارهای گرمابی بسیار فراوان بوده و گاه تا یک میلیارد یا بیشتر در یک سانتی‌متر مکعب از بلور یافت می‌شوند (Craig and Vaughan, 1981) به منظور ارزیابی دمای تشکیل رگه‌های سیلیسی و ماهیت سیال‌های کانی‌ساز در منطقه، تعداد ۶ عدد نمونه جهت مطالعه سیالات درگیر انتخاب شدند. اندازه‌گیری‌های دماسنگی میانبارهای سیال در گروه زمین-شناسی دانشگاه اصفهان و با بهره‌گیری از دستگاه Linkam مدل THM600 با کنترل کننده حرارتی TMS92 و سرد کننده نوع LNP که بر روی میکروسکوپ زایس (ZEISS) مجهز به عدسی شیئی LWD<sub>50X</sub> نصب شده است، انجام گرفت.

پتروگرافی میانبارهای سیال مطالعات پتروگرافی یک نمونه سنگ برای انتخاب سیالات درگیر مناسب، اولین و اساسی‌ترین گام در مطالعه سیالات درگیر است. پتروگرافی

حدود ۷/۰٪ الی ۰/۸٪ است. در صورتی که درجه پرشدگی بیشتر از ۴۵ درصد باشد، همگن شدن به فاز مایع اتفاق می‌افتد که این مسئله در مورد تمام میانبارهای سیال مطالعه شده صدق می‌کند. وجود این نوع میانبارها نشانگر آن است که کانی-سازی در این منطقه توسط محلول‌های گرمابی صورت گرفته و درجه حرارت کانی‌سازی نیز بالا نبوده است (تا ۲۶۸ درجه سانتی‌گراد).

به شرح زیر شده است: سیالات درگیر دوفازه غنی از مایع (L+V) در این نوع سیال درگیر فاز مایع همراه با فاز حباب گاز وجود دارد. بیشترین حجم سیال درگیر را فاز مایع در بر می‌گیرد و فاز گازی تنها ۱۰ تا ۳۵ درصد حجم سیالات درگیر مطالعه شده را اشغال کرده است، در واقع درجه پرشدگی (نسبت حجمی مایع به حجم کل میانبار سیال) این نوع از میانبارها در



شکل ۱۲: تصاویر میکروسکوپی از میانبارهای سیال

انحلال نمک باشد ( $T_{\text{S}}$ ). در روش حرارت دادن، نمونه دوبرصیقل در محفظه مخصوص دستگاه گرمایش قرار داده می‌شود و با بستن درپوش مخصوص، عمل حرارت دادن نمونه آغاز می‌شود. دمای همگن شدن برای میانبارهای دو فازی از ۱۸۷ تا ۲۶۸ درجه سانتی‌گراد به دست آمد (جدول ۳).

#### تعیین شوری

برای سیستم‌های آبگین آب-نمک مطالعات انجماد بهترین روش برای تعیین شوری میانبارهای آبگین است، زیرا کاهش نقطه انجماد آب خالص رابطه مستقیم با مقدار نمک موجود در محلول دارد (باقری، ۱۳۹۱). برای این منظور در ابتدا قسمتی از نمونه که حاوی سیال درگیر مناسب و موردنظر

#### مطالعات ریزدماسنجی سیالات درگیر در کانی کوارتز

مطالعات حرارت‌سنجی شامل دو مرحله سرمایش و گرمایش است. انجام مطالعات سرمایشی و گرمایشی با دستگاه سیالات درگیر انجام شد و جهت سرمایش میانبارهای موردنظر از نیتروژن مایع استفاده شد.

تعیین دمای همگن شدن: هدف نهایی مطالعات حرارت‌دهی، اندازه‌گیری دمای نهایی همگن شدن است (دماهی که در آن میانبار به صورت یک سیستم تک فازی در می‌آید) که نتیجه دمای به تله افتادن سیالات با درجه حرارت تشکیل کانی-سازی است. عموماً این همان دمای کل همگن شدن مایع-بخار است ( $T_{\text{H}}$ ) اما برای میانبارهای دارای کانی نوزاد همچنین این امر می‌تواند دمای

تا ۴۳-درجه سانتیگراد به دست آمده است (جدول ۳). از روی این دما می‌توان در مورد ترکیب سیال‌های درگیر و نوع نمک‌های موجود در سیال ( $MgCl_2$ ,  $CaCl_2$ ,  $NaCl$ ) اظهار نظر کرد (Bodnar and Vityk, 1994). در مرحله بعد، دمای ذوب آخرین قطعه یخ به عنوان نقطه ( $T_{LM}$ ) ثبت شد. این دما برای تخمین شوری (معادل در صد وزنی  $NaCl$ ) سیالی که از آن کریستال متبلور شده، استفاده می‌شود (Bodnar and Vityk, 1994). با توجه به اینکه میانبارهای موجود در منطقه مورد مطالعه از نوع دو فازی بوده، دمای ذوب آخرین بلور یخ ( $T_{LM}$ ) برای میانبارها بین ۱/۱- تا ۷/۵- درجه سانتیگراد محاسبه شد (جدول ۳). با توجه به دمای ( $T_{LM}$ ) و با استفاده از روش (Bodnar and Vityk, 1994)، شوری میانبارهای سیال معادل ۱/۶ تا ۱۰/۵ درصد وزنی نمک طعام محاسبه شد (جدول ۳).

وجود داشت در زیر عدسی قرار گرفت. شروع سرد کردن با حدنهایی ۱۵۰- درجه سانتیگراد و با نرخ سرمایش ۲۰ درجه سانتیگراد بر دقیقه انجام شد. سپس سیالات درگیر تا ۱۰۰- درجه سانتیگراد سرد شدند ولی عملاً تمامی سیالات در حدود ۵۸- درجه سانتیگراد یخ زدند. بعد از این مرحله حدود ۲ دقیقه صبر می‌کنیم تا دستگاه در حالت ثابت قرار گیرد.

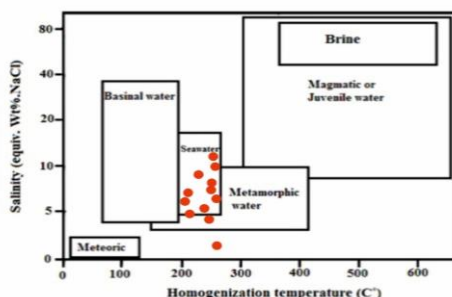
بعد از این مرحله، سیالات یخ زده با نرخ ۱۰ درجه سانتیگراد بر دقیقه مورد آزمایش گرمایش قرار گرفتند. در این آزمایش اولین ظهور مایع پس از انجماد کامل سیال به عنوان دمای اولیه ذوب ( $T_{FM}$ ) شناخته می‌شود که معادل دمای یوتکتیک است. دمای یوتکتیک ( $Te$ )، دمای مربوط به زمانی است که نخستین قطره مایع پدید می‌آید. براساس مطالعات ریز دما‌سنجی انجام شده روی سیال‌های دوفازی غنی از فاز مایع دمای نقطه ( $Te$ ) که در واقع دمای ذوب اولین قطعه یخ است، میان ۲۲-

جدول ۳: خصوصیات فیزیکوشیمیایی سیالات درگیر در شرق شجاع آباد

| sample code | n تعداد | Size ( $\mu m$ ) | Th (C°) دمای همگن شدن | $T_{ice}$ (C°) دمای انجماد | TFM (Teu) ذوب اولین تکه یخ | (TLM) ذوبنهایی یخ | Salinity (wt% Nacl) | نوع همگن‌شدن |
|-------------|---------|------------------|-----------------------|----------------------------|----------------------------|-------------------|---------------------|--------------|
| S1          | 1       | 10               | 258                   | -57                        | -24                        | (-5.1)            | 7.35                | L+V L        |
| S1          | 1       | 10               | 255                   | -53                        | -37                        | (-2.3)            | 3.8                 | L+V L        |
| S1          | 1       | 10               | 268                   | -48                        | -37                        | (-1.1)            | 1.6                 | L+V L        |
| S1          | 1       | 10               | 263                   | -48                        | -37                        | (-4.7)            | 7.4                 | L+V L        |
| S1          | 1       | 10               | 260                   | -48                        | -42                        | (-7.2)            | 10.1                | L+V L        |
| FL1         | 1       | 10               | 247                   | -57                        | -27                        | (-6.2)            | 9.1                 | L+V L        |
| FL1         | 2       | 10               | 211                   | -56                        | -22                        | (-1.2)            | 1.7                 | L+V L        |
| FL1         | 1       | 10               | 208                   | -56                        | -22                        | (-5.3)            | 7.40                | L+V L        |
| FL1         | 1       | 5                | 249                   | -56                        | -22                        | (-4.2)            | 6.2                 | L+V L        |
| FL1         | 2       | 8                | 261                   | -58                        | -24                        | (-3.1)            | 4.5                 | L+V L        |
| FL1         | 1       | 7                | 257                   | -58                        | -24                        | (-3.1)            | 4.5                 | L+V L        |
| FL2         | 1       | 10               | 203                   | -53                        | -27                        | (-4.2)            | 6.2                 | L+V L        |
| FL2         | 1       | 10               | 198                   | -53                        | -43                        | (-4.2)            | 3.7                 | L+V L        |
| FL2         | 1       | 8                | 187                   | -53                        | -27                        | (-2.1)            | 3.7                 | L+V L        |
| FL2         | 2       | 8                | 211                   | -53                        | -27                        | (-3.7)            | 5.7                 | L+V L        |
| FL2         | 3       | 8                | 264                   | -57                        | -27                        | (-5.1)            | 7.35                | L+V L        |
| FL2         | 1       | 10               | 258                   | -57                        | -23                        | (-7.5)            | 10.5                | L+V L        |

محدوده قرار گرفته است. بر پایه داده‌های حاصل از مطالعات ریز دما‌سنجی به نظر می‌رسد که سیالات کانه‌زای دارای دمای پایین از یک حجره ماقمای ریوداسیتی مشتق شده که با توجه به دمای همگن‌شدن و شوری پایین محلول‌های گرمابی این مطلب قابل استناد است.

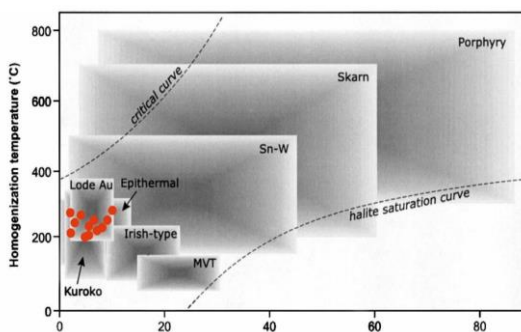
**منشا سیال تشکیل دهنده کانسار**  
داده‌های شوری و دمای همگن‌شدن میانبارهای سیال در منطقه، نشان می‌دهد که بیشترین تمرکز میانبارهای سیال در محدوده آب‌های دریایی قرار می‌گیرد (شکل ۱۳) که احتمالاً سیال ماقمایی با سرد شدن و رقیق‌شدن توسط سیالات با شوری کمتر (آب‌های جوی) در این



شکل ۱۳: تعیین منشا سیال کانسارساز با استفاده از میزان شوری نسبت به دمای همگن شدن (Kesler, 2005).

همچنین شوری‌های پایین در منطقه، به نظر می‌رسد که محدوده مورد مطالعه جزء ذخایر اپی ترمال باشد. نمودار شکل ۱۴ که بر پایه محدوده دمای همگن شدن و شوری میانبارهای سیال طراحی شده است این مطلب را تایید می‌کند.

**تعیین منشا ذخیره**  
مهمنترین کاربرد میانبارهای سیال تعیین ویژگی، منشا و تحولات سیالات گرمابی کانه‌ساز و در نهایت منشا یا ژنز کانسار است. با استناد بر نتایج دمایی به دست آمده از سیالات درگیر (دمای همگن شدن کمتر از ۳۰۰ درجه سانتیگراد) و



شکل ۱۴: نمودار محدوده‌های دما و شوری میانبارهای سیال در کانسارهای مختلف (Wilkinson, 2001).

و کلوفرم در اشكال مختلف کانی‌سازی وجود دارد اما بافت‌های اصلی کانه‌ها افسان، شکافه پرکن و رگچه‌ای می‌باشد.

**نتیجه‌گیری**  
۱) با توجه به مطالعات سنگ‌شناسی و کانه‌نگاری، بافت‌های رگه-رگچه‌ای، مارتیتی شدن، جانشینی

کانسارهای گرمابی به مقدار آب زیادی (حدود ۳٪ وزنی) نیاز است، این نوع ماگما دارای مقدار آب کافی برای تشکیل این کانسارها می‌باشد.

۶) با توجه به بررسی‌های ژئوشیمیایی، محلول کانه‌ساز منطقه مورد مطالعه دارای pH قلیایی می‌باشد.

۷) بیشترین تمرکز میانبارهای سیال در محدوده آبهای دریایی قرار می‌گیرد که احتمالاً سیال ماگمایی با سرد شدن و رقیق‌شدنگی توسط سیالات با شوری کمتر (آبهای جوی) در این محدوده قرار گرفته است. منشا آب کانه‌ساز در منطقه، عمدتاً جوی است، که در کانسارهای اپی-ترمال سولفیداسیون پایین این پدیده منطقی به نظر می‌رسد.

۸) براساس مطالعات ریزدماسنجی سیالات درگیر در کانی کوارتز، مشخص گردید که سیالات درگیر کانی کوارتز از دامنه وسیع دمای همگن‌شدنگی ۱۸۷°C تا ۲۶۸°C برخوردار هستند. شوری ۱/۶ تا ۱۰/۵ درصد وزنی معادل نمک طعام نیز برای محلول‌های کانه‌ساز مشخص گردید. با توجه به اینکه کانسارهای اپی-ترمال سولفیداسیون پایین دارای دمای حدود ۱۰۰-۳۰۰ درجه و شوری ۱۳-۰ درصد وزنی نمک طعام هستند، می‌توان منطقه شرق شجاع‌آباد را جزء ذخایر اپی-ترمال سولفیداسیون پایین در نظر گرفت.

نشان، فصلنامه علوم زمین، شماره ۹۴، ص ۳۲۹-

.۳۴۸

-مهرابی، ب.، هوشمندزاده، ع.، کریمی، ز. و رشیدی، ب.، ۱۳۸۳. کانی‌سازی اپی-ترمال طلا در بزمان (بلوچستان)، بیست و سومین گردهمایی علوم زمین، سازمان زمین‌شناسی و اکتشافات معدنی کشور.

۲) مطالعات کانه‌نگاری حاکی از کانی‌سازی به دو صورت هیپوزن با کانه‌های پیریت، کالکوپیریت و مگنتیت و مرحله سوپرزن با حضور کانی‌های کالکوسیت، کوولیت، مالاکیت، هماتیت و گوتیت است.

۳) پایین بودن میزان کانی‌های سولفیدی به صورت بلورهای ریز و افسان و مقادیر فراوان کانی‌های کربناتی در پیرامون کانه‌زایی از جمله عوامل مهمی است که می‌توان اندیس مس-طلا شرق شجاع‌آباد را جزء ذخایر اپی-ترمال با سولفیداسیون پایین در نظر گرفت.

۴) با توجه به پیمایش‌های صحرایی، مطالعات میکروسکوپی و پردازش تصاویر ماهواره‌ای ASTER، حضور دگرسانی آرژیلیک در مرکز منطقه و گسترش زیاد دگرسانی پروپیلیتیکی در اطراف مشخص است. با توجه به اینکه دگرسانی در انواع کانسارهای اپی-ترمال سولفیداسیون بالا عموماً آرژیلیکی است، در حالی که در انواع سولفیداسیون پایین از نوع پروپیلیتیک تا آرژیلیکی است، می‌توان اندیس مس-طلا شرق شجاع‌آباد را جزء ذخایر اپی-ترمال سولفیداسیون پایین در نظر گرفت.

۵) براساس مطالعات ژئوشیمیایی، ماگمای مادر سنگ‌های منطقه مورد مطالعه کالک‌آلکالن می‌باشد. با توجه به اینکه برای شکل‌گیری

## منابع

- باقری، م.، ۱۳۹۱. نمونه‌برداری و تجزیه دستگاهی، انتشارات جهاد دانشگاهی، ۴۴۶ ص.
- حیدری، س.م.، قادری، م.، کوهستانی، ح. و حسینی، م.، ۱۳۹۳. کانسار طلا-نقره (مس) اپی-ترمال توزلار، مرتبط با توده نفوذی نیمه عمیق محیط کششی درون کمانی، در شمال باختر ماه-

- دگرسانی گرمابی، انتشارات دانشگاه شهید چمران اهواز، ۱۳۹۰ ص.
- زمانی، ف.، ۱۳۹۲. اکتشافات ژئوشیمیایی و مطالعه ژنز اندیس مس- طلا شجاع آباد، پایان نامه کارشناسی ارشد، دانشگاه اصفهان.
- کوهستانی، ح.، قادری، م.، امامی، م.ه. و زاو، خ.، ۱۳۹۲. کانسار چاه زرد: کانه‌زایی نقره- طلای اپی- ترمال با میزان برشی در کمربند ارومیه- دختر، فصلنامه علوم زمین، شماره ۸۷، ص ۲۴-۹.
- مهوری، ر.، نظریه‌بیان، م. و مکی‌زاده، م.ع.، ۱۳۹۱. بررسی‌های کانه‌زایی و شاره‌های درگیر بر روی رگه‌های کانه‌زایی کوارتز در کانسار و راگرمایی کالچویه، جنوب غربی نایین، مجله بلورشناسی و کانی‌شناسی ایران، شماره ۲۰، ص ۱۱۱-۱۲۲.
- زاهدی، م. و رحمتی، م.، ۱۳۸۱. نقشه زمین- شناسی طرق، مقیاس ۱:۱۰۰۰۰، سازمان زمین- شناسی کشور.
- زراسوندی، ع.، ۱۳۸۶. اطلس دگرسانی: راهنمای مطالعات صحرایی و میکروسکوپی برای کانی‌های

- Alimohammadi, M., Alirezaei, S. and Kontak, D.J., 2015. Application of ASTER data for exploration of porphyry copper deposits: A case study of Daraloo-Sarmeshk area, southern part of the Kerman copper belt, Iran: Ore Geology Reviews, v. 70, p. 290-304
- Aminoroayaee Yamini, M., Tutti, F., Haschke, M., Ahmadian, J. and Murata, M., 2017. Synorogenic copper mineralization during the Alpine-Himalayan orogeny in the Zafarghand copper exploration district, Central Iran: petrography, geochemistry and alteration thermometry: Geological Journal, v. 52, p. 263-281
- Asadi, H.H., 2008. First stage drilling report on Dalli porphyry Cu-Au prospect, Central Province of Iran, 29 p.
- AsadiHaroni, H. and Lavafan, A., 2007. Integrated Analysis of ASTER and Landsat ETM Data To Map Exploration Targets In The Muteh Gold-Mining Area, Iran, 5th international symposium spatial data quality.
- Barnes, H.L., 1997. Geochemistry of hydrothermal ore deposite: John Wiley and Sons Interscience, New York, 972 p.
- Bodnar, R.J. and Vityk, M.O., 1994. Interpretation of micro-thermometric

- data for H<sub>2</sub>O-NaCl fluid inclusions, In: De Vivo, B. and Frezzotti, M.L. (Eds.), Fluid Inclusions in Minerals: Methods and Applications. Short Course of the Working Group, Siena, p. 117-130.
- Boloki, M. and Poormirzaee, R., 2009. Using ASTER Image Processing for Hydrothermal Alteration and Key Alteration Minerals Mapping in Siyahrud area, Iran: International Journal of Geology, v. 3, p. 38-43
- Cooke, D.R. and Deyell, C.L., 2003. Descriptive names for epithermal deposits: Their implications for genetic classifications and inferring ore fluid chemistry, In: Eliopoulos, D. et al, Mineral exploration and sustainable development. Rotterdam, Millpress, v. 1, p. 457-460.
- Craig, J. and Vaughan, D.J., 1994. Ore microscopy and ore petrography: Second edition, John Wileyand Sons, 434 p.
- Crinci, J. and Jurkowic, I., 1990. Rare earth elements in Triassic bauxites of Croatia Yugoslavia: Travaux, v. 19, p. 239-248.
- Daliran, F., Paar, W., Neubauer, F. and Rashidi, B., 2005. New discovery of epithermal gold at Chahnali prospect, Bazman volcano, SE-Iran, Mineral

- deposit research: Meeting the global change, p. 917-919
- Dostal, J., Church, B.N., Reynolds, P.-H. and Hopkinson, L., 2001. Eocenevolcanism in the Buck Creek Basin, central British Columbia (Canada): transitionfromarc to extensional volcanism: *Journal of Volcano Geotherms*, v. 107, p. 149170.
- Evans, A.M., 1992. Ore geology and industrials minerals, An Introduction, Blackwell Scientific Publications, 400 p.
- Fan, W.M., Gue, F., Wang, Y.J. and Lin, G., 2003. Late Mesozoic calc alkaline volcanism of extention in the northen Da Hinggan Mountains, northeastern China: *Journal of Volcanology and Geothermal Research*, v. 121, p. 115135.
- Gemmell, J.B., 2004. Low and intermediate sulfidation epithermal deposits, In: Cooke, D.R., Deyell, C.L., Pongratz, J., (eds.), 24 Carat Gold Workshop: Centre for Ore Deposit Research, Special Publication, v. 5, p. 57-63.
- Ghaderi, M. and Kouhestani, H., 2010. Chah Zard deposit: the first report of Ag-Au epithermal mineralization with brecciated host in Iran, 7th Annual Meeting of Asia Oceania Geosciences Society (AOGS), Hyderabad, India, Abstract.
- Hastie, A.R., Kerr, A.C. and Mitchell, S.F., 2007. Classification of altered volcanic Island Arc rocks using immobile trace elements: development of the Th-Co discrimination diagram: *Journal of Petrology*, v. 48, p. 2341-2357.
- Hedenquist, J.W., Arribas, J.A. and Gonzalez-Urein, E., 2000. Exploration for epithermal gold deposits: Society of Economic Geologists, v. 13, p. 245-277.
- Hedenquist, J.W., Sillitoe, R.H. and Arribas, A., 2004. Characteristics of and exploration for high-sulfidation epithermal Au-Cu deposits, In: Cooke, D.R., Deyell, C.L. and Pongratz, J., (eds.), 24 Carat Gold Workshop: Centre for Ore Deposit Research, Special Publication, v. 5, p. 99-110.
- Hunt, G.R. and Ashley, R.P., 1979. Spectra of altered rocks in the visible and near infrared: *Economic Geology*, v. 74, p. 1613–1629.
- Kamber, B.S., Ewart, A., Bruce, M.C. and Donald, G.D., 2002. Fluid mobile trace element constraints on the role of slab melting and implication of Archean crustal growth model: Contributions to Mineralogy and Petrology, v. 144, p. 38-56.
- Kesler, S.E., 2005. Ore forming fluids, Elements, v. 1, p. 13-18.
- Kretz, R., 1983. Symbols of rock-forming minerals, *American Mineralogist*, v. 68, p. 277-279.
- Mauk, J.L. and Simpson, M.P., 2007. Geochemistry and stable isotope composition of altered rocks at the Golden Cross epithermal Au-Ag deposit, New Zealand: *EconomicGeology*, v. 102, p. 841-871.
- McDonough, W.F. and Sun, S.S., 1995. The composition of the Earth: *Chemical geology*, v. 120, p. 223-253.
- Nakamura, N., 1974. Determination of REE, Ba, Fe, Mg, Na and K in carbonaceous and ordinary chondrites: *Geochimica et Cosmochimica Acta*, v. 38, p. 757-775.
- Pirajno, F., 2009. Hydrothermal processes and mineral systems: springer sience, perth, 203 p.
- Richards, J.P., Wilkinson, D. and Ullrich, T., 2006. Geology of the Sari Gunay epithermal gold deposit, northwest Iran, *Economic Geology*, v. 101, p. 1455-1496.
- Richards, J.P., Wilkinson, D. and Ullrich, T., 2006 .Geology of the Sari Gunay epithermal gold deposit

- northwest Iran: Economic Geology, v. 101, p. 1455-1496.
- Roedder, E. and Bodnar, R.J., 1997. Fluid inclusion studies of hydrothermal ore deposits. In: Barnes, H.L., (Eds), Geochemistry of hydrothermal ore deposits, John Wiley, New York, p. 1223-1247.
- Roedder, E., 1979. Fluid inclusions as samples of ore fluids, In: Barnes, H.L. (Eds.), Geochemistry of Hydrothermal Ore Deposits, 2nd edition, Wiley, New York, p. 684-737.
- Rollinson, H.R., 1993. Using Geochemical Data: Evaluation, Presentation, Interpretation: Longman, U.K., 352 p.
- Schandl, E.S. and Gorton, M.P., 2002. Application of high field strength elements to discriminate tectonic setting in VMS environments: Economic Geology, v. 97, p. 629–642-Schock, H.-H., 1979. Distribution of rare-earth and other trace elements in magnetites: Chemical Geology, v. 26, p. 119-133.
- Seghedi, I., Downes, H., Harangi, S., Mason, P.R.D. and Pecskay, Z., 2005. Geochemical response of magmas to Neogene-Quaternary continental collision in the Carpathian-Pannonian region. A review: Tectonophysics, v. 410, p. 485-499.
- Shepherd, T.J., Rankin, A.H. and Alderton, D.H.M., 1985. A practical guide to fluid inclusion studies, Blackie, Glasgow, 239 p.
- Sillitoe, R.H. and Hedenquist, J.W., 2003. Linkages between volcanotectonic settings ore-fluid compositions and epithermal precious metal deposits in volcanic, geothermal, and ore-forming fluids: rulers and witnesses of processes with the earth: Society of Economic Geologists, v. 10, p. 315-345.
- Sillitoe, R.H., 1989. Gold deposits in western Pacific island arcs: The magmatic connection Economic Geology Monograph, v. 6, p. 274-291.
- Tommaso, D.I. and Rubinstein, N., 2007. Hydrothermal alteration mapping using ASTER data in the Infiernillo porphyry deposit, Argentina: Ore Geology Reviews, v. 32, p. 275-290.
- Van den Kerkhof, A.M. and Hein, U.F., 2002. Fluid inclusion petrography, Lithos, v. 55, p. 22-47.
- Wiesheu, R. and Hein, U.F., 1998. The history of fluid inclusion studies, In: Fritscher, B. and Henderson, F.(Eds.), Toward a History of Mineralogy, Petrology, and Geochemistry, Institute für Geschichte der Naturwissenschaften, Munich, p. 309-325.
- Wilkinson, J.J., 2001. Fluid inclusions in hydrothermal ore deposits, Lithos, v. 55, v. 229-272.
- Wilson, M., 1989. Igneous petrogenesis: A global tectonic approach: First edition, Published by Springer, The Netherlands, 466 p.
- Yan, J., Chen, J. and Xu, X., 2008. Geochemistry of Cretaceous mafic rocks from the Lower Yangtze region, eastern China: Characteristics and evolution of the lithospheric mantle: Journal of Asian Earth Science, v. 33, p. 177-193.